

## บทที่ 2

### เอกสารและงานวิจัยที่เกี่ยวข้อง

#### 2. แนวคิดและทฤษฎี

ไบโอดีเซลคือคือพลังงานที่มิได้เกิดจากปิโตรเลียม มีส่วนประกอบเป็นอัลกิลเอสเทอร์ ซึ่งผลิตได้จากทั้งกระบวนการทรานส์เอสเทอเรติกเคนชันของไตรกลีเซอไรด์ (TGs) หรือกระบวนการเอสเทอเรติกเคนชันของกรดไขมันอิสระ (FFAs) กับแอลกอฮอล์ซึ่งมีน้ำหนักโมเลกุลต่ำ [8] ไบโอดีเซลประกอบไปด้วยผลิตภัณฑ์ที่มิใช่ปิโตรเลียม แต่มักจะนิยมนำไปผสมกับน้ำมันดีเซลเป็น B5 (5%ไบโอดีเซล และ 95%ดีเซลปิโตรเลียม) หรือ B10 เป็นต้น เพื่อหลีกเลี่ยงปัญหาที่เกิดจากการใช้น้ำมันไบโอดีเซลเพียงอย่างเดียว เช่น ปัญหาซึ่งเกิดจากการกัดกร่อน หรือความหนืดซึ่งอาจส่งผลทำให้หัวฉีดคุดตันได้ เป็นต้น ตารางที่ 1 แสดงมาตรฐาน ASTM (The American Society for Testing and Materials) ของดีเซลปิโตรเลียม และไบโอดีเซล [8]

ตารางที่ 1 แสดงมาตรฐาน ASTM (The American Society for Testing and Materials) ของดีเซลปิโตรเลียม และไบโอดีเซล [8]

คุณสมบัติ	ดีเซล	ไบโอดีเซล
มาตรฐาน	ASTM D975	ASTM D6751
ส่วนประกอบ	HC <sup>a</sup> (C10-C21)	FAME <sup>b</sup> (C12-C22)
ค่าความหนืด ( $\text{mm}^2/\text{s}$ ) ที่ 40 °C	1.9-4.1	1.9-6.0
ความถ่วงจำเพาะ (g/mL)	0.85	0.88
จุดภายในไฟ (°C)	60-80	100-170
จุดผุนผ้า (°C)	-15 to 5	-3 to 12
จุดไฟลวิน (°C)	-35 to -15	-15 to 16
ปริมาณน้ำ (vol %)	0.05	0.05
คาร์บอน (wt %)	87	77
ไฮโดรเจน (wt %)	13	12
ออกซิเจน (wt %)	0	11
ชัลเฟอร์ (wt %)	0.05	0.05
ค่าซีเทน	40-55	48-60
HFRR <sup>c</sup> (/m)	685	314
BOCLE <sup>d</sup> scuff (g)	3600	>7000

<sup>a</sup> Hydrocarbons. <sup>b</sup> Fatty acid methyl esters. <sup>c</sup> High-frequency reciprocating rig. <sup>d</sup> Ball-on-cylinder lubricity evaluator.

## 2.1 เทคโนโลยีในการผลิตใบโอดิเซล

กระบวนการผลิตใบโอดิเซลนั้นมีหลายกระบวนการ สามารถสรุปได้ทั้งหมด 7 เทคโนโลยีหลักๆ คือ

1. การใช้โดยตรงกับเครื่องยนต์ดีเซลบีโตรเลียม (Direct Use)

2. การผสมกับน้ำมันเชื้อเพลิงบีโตรเลียม (Blending)

3. กระบวนการไมโครอิมัลชัน (Microemulsion)

4. กระบวนการแตกตัวด้วยความร้อน (Pyrolysis)

5. กระบวนการแยกเปลี่ยนด้วยหมู่เอสเตอร์ (Transesterification) โดยเรียกผลิตภัณฑ์จากกระบวนการนี้ว่าใบโอดิเซล ซึ่งยังแบ่งย่อยออกเป็นหลายเทคโนโลยี คือ

- กระบวนการผลิตแบบพื้นฐาน (Base-catalyzed Transesterification)

- กระบวนการผลิตแบบ CD Process (Continuous deglycerolization process)

- การผลิตแอลกิลเօสเตอร์โดยใช้เอนไซม์ไลเพส

- กระบวนการภายใต้สภาวะเหนือวิกฤติยิ่งขวด (Supercritical methanol)

- กระบวนการผลิตเมทิลเօสเตอร์โดยใช้คลีนไมโครเวฟ

6. กระบวนการทรานส์เօสเตอราฟิเคชันด้วยกรด (Acid-catalyzed Transesterification)

7. กระบวนการ 2 ปฏิกริยา (2-stage process)

### 2.1.1 การใช้โดยตรงกับเครื่องยนต์ดีเซลบีโตรเลียม (Direct Use)

การใช้ไขมันและน้ำมันที่ได้จากพืชหรือสัตว์เป็นแหล่งที่ดีของน้ำมันเชื้อเพลิงดีเซลโดยตรง แม้จะใช้น้ำมันพืชเท่านั้น เนื่องจากมีคุณสมบัติที่สัมพันธ์กับการเป็นแหล่งเชื้อเพลิงที่ดีและเหมาะสมกว่าไขมันสัตว์ มีประสิทธิภาพการใช้งานทดแทนสูงกว่า นอกจากนี้แล้วไขมันสัตว์มีจุดหลอมเหลวสูงกว่าและมีลักษณะเป็นของแข็งที่อุณหภูมิห้อง ซึ่งเป็นอุปสรรคในการนำมาใช้เป็นน้ำมันเชื้อเพลิงดีเซล เพราะจะทำให้เกิดความยุ่งยากในการเติมไขมันสัตว์สำหรับการใช้งานโดยตรง

ตารางที่ 2 แสดงปัญหา สาเหตุที่อาจเป็นไปได้ และสารละลายนิสภาวะที่เหมาะสมสำหรับการนำน้ำมันพืชไปใช้โดยตรงทดแทนไบโอดีเซล

ปัญหา	สาเหตุที่อาจเป็นไปได้	วิธีแก้ที่เหมาะสม
ระยับสัน		
1. เมื่ออากาศรีบดีกว่า	ความหนืดสูง ค่าซีเทนต์ จำกัดความต้านทานของน้ำมันพืชต่ำ	ให้ความร้อนพัลส์งานก่อนฉีด เปลี่ยนส่วนประกอบทางเคมีจากน้ำมันไปเป็นเอสเทอร์
2. เกิดการเกะดีดของยางเหนียวในตัวกรอง สายท่อ และหัวฉีด	ยางเหนียวตามธรรมชาติ (phosphatide) ในน้ำมันพืชหรือเด้าอื่นๆ	ควรปรับปรุงคุณภาพโดยการกำจัดยางเหนียว กรองตัวยดตะแกรง 4 ไมครอน
3. เครื่องน้ำมัน	ค่าซีเทนต์มากในน้ำมันบางชนิด ไม่เหมาะสมสำหรับเวลาฉีด	เวลาฉีด ควรใช้เครื่องยนต์ที่มีแรงอัดสูง ให้ความร้อนแก่เชื้อเพลิงก่อนฉีด เปลี่ยนส่วนประกอบทางเคมีจากน้ำมันไปเป็นเอสเทอร์
ระยับยาง		
4. การเกิดโคิกของหัวฉีด บันลูกสูบ และที่หัว (head) ของเครื่องยนต์	น้ำมันพืชมีความหนืดสูง การเผาไหม้ของเชื้อเพลิงไม่สมบูรณ์ กิດการเผาไหม้ที่แยกในส่วนที่โหลดด้วยน้ำมันพืช	อุ่นเชื้อเพลิงก่อนฉีด เปลี่ยนเครื่องยนต์ไปใช้เชื้อเพลิงดีเซลเมื่อกระบวนการการเกิดที่ส่วนที่โหลด เปลี่ยนส่วนประกอบทางเคมีจากน้ำมันไปเป็นเอสเทอร์
5. ควรบอนจับตัวเป็นตะกอนบนลูกสูบ และที่หัว (head) ของเครื่องยนต์	น้ำมันพืชมีความหนืดสูง การเผาไหม้ของเชื้อเพลิงไม่สมบูรณ์ กิດการเผาไหม้ที่แยกในส่วนที่โหลดด้วยน้ำมันพืช	อุ่นเชื้อเพลิงก่อนฉีด เปลี่ยนเครื่องยนต์ไปใช้เชื้อเพลิงดีเซลเมื่อกระบวนการการเกิดที่ส่วนที่โหลด เปลี่ยนส่วนประกอบทางเคมีจากน้ำมันไปเป็นเอสเทอร์
6. เกิดการ Excessive engine wear	น้ำมันพืชมีความหนืดสูง การเผาไหม้ของเชื้อเพลิงไม่สมบูรณ์ กิດการเผาไหม้ที่แยกในส่วนที่โหลดด้วยน้ำมันพืช ซึ่งอาจเกิดจากกรดไขมันอิสระในน้ำมันพืช เกิดการเจือจางของน้ำมันหล่อลื่นเครื่องยนต์เนื่องจากถูกพาดอย่น้ำมันพืช	อุ่นเชื้อเพลิงก่อนฉีด เปลี่ยนเครื่องยนต์ไปใช้เชื้อเพลิงดีเซลเมื่อกระบวนการการเกิดที่ส่วนที่โหลดเปลี่ยนส่วนประกอบทางเคมีจากน้ำมันไปเป็นเอสเทอร์ เพิ่มการเปลี่ยนน้ำมันเครื่อง สารเติมแต่งน้ำมันเครื่องซึ่งเพิ่มค่าօกซิเดชันได้
7. น้ำมันหล่อลื่นเครื่องยนต์ส้มเหลวเนื่องจากพอลิเมอร์เซ็น	เกิดการสะสมตัวของน้ำมันพืชไม่เข้มตัวในข้อเหวี่ยงในตำแหน่งที่เกิดพอลิเมอร์เซ็น	อุ่นเชื้อเพลิงก่อนฉีด เปลี่ยนเครื่องยนต์ไปใช้เชื้อเพลิงดีเซลเมื่อกระบวนการการเกิดที่ส่วนที่โหลด เปลี่ยนส่วนประกอบทางเคมีจากน้ำมันไปเป็นเอสเทอร์ เพิ่มการเปลี่ยนน้ำมันเครื่อง สารเติมแต่งน้ำมันเครื่องซึ่งเพิ่มค่าօกซิเดชันได้

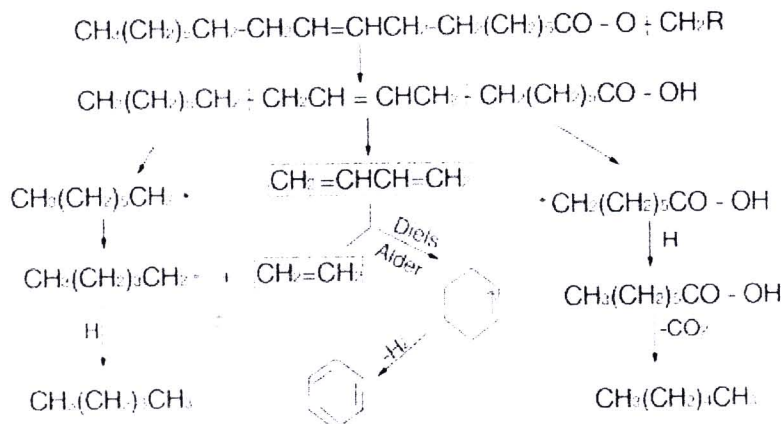
### 2.1.2 การผสมกับน้ำมันเชื้อเพลิงบีโตรเลียม (Blending)

การเจือจางหรือการผสมตามส่วนของน้ำมันพืชสามารถนำมาระลâyเข้ากันได้อย่างสมบูรณ์ในของเหลวบางชนิดเท่านั้น เช่น น้ำมันเชื้อเพลิงดีเซล ตัวทำละลายไฮโดรคาร์บอน และแอลกอฮอล์ที่มีสายใยค่าวร์บอนสั้นๆ ได้มีการศึกษาเกี่ยวกับการเจือจางของน้ำมันเมล็ดทานตะวันโดยใช้น้ำมันเชื้อเพลิงดีเซลเป็นตัวทำละลายในอัตราส่วน 1: 3 โดยปริมาตร และผ่านการทดสอบโดยใช้น้ำมันเชื้อเพลิงในเครื่องยนต์ดีเซลได้สำเร็จ แต่สารผสมนี้ไม่เหมาะสมในการนำมาใช้เป็นเชื้อเพลิงสำหรับเครื่องยนต์ดีเซลประเภท Direct Injection ในช่วงระยะเวลา เพราะว่าเกิดปัญหาเกี่ยวกับการเกิดโค้กที่ปลายกระบวนการของระบบหัวฉีดอย่างรุนแรง

### 2.1.3 กระบวนการไมโครอิมลัชัน (Microemulsion)

เป็นวิธีการแก้ปัญหาค่าความหนืดสูงในน้ำมันพืชให้มีค่าลดลง โดยใช้คู่กับตัวทำละลาย เช่น เมทานอล เอทานอล และ 1-บิวทานอล ไมโครอิมลัชันคือคลอลอยด์ที่กระจายตัวในสภาพแวดล้อมโดยมีอนุภาคในคลอลอยด์ส่วนมากอยู่ในช่วง 1-150 นาโนเมตร [11] เพื่อนำไปจัดเป็นฝอยได้ และมีคุณภาพใกล้เคียงกับน้ำมันดีเซล

### 2.1.4 กระบวนการแตกตัวด้วยความร้อน (Pyrolysis) [9]



รูปที่ 1 กลไกการเกิดปฏิกิริยาการแตกตัวด้วยความร้อนของไตรกลีเซอไรด์ [9]

เป็นกระบวนการเปลี่ยนจากสารประกอบหนึ่งชนิดไปเป็นสารประกอบอื่นๆ มากกว่านึงชนิด โดยใช้ความร้อนหรือใช้ความร้อนร่วมกับตัวเร่งปฏิกิริยา ทั้งนี้จะต้องจำกัดปริมาณอากาศ หรือออกซิเจนที่ใช้ในกระบวนการด้วยเพื่อป้องกันไม่ให้เกิดการเผาไหม้ที่สมบูรณ์ อุณหภูมิที่ใช้ใน

กระบวนการปะมาณ 450 - 600 องศาเซลเซียส สารประกอบที่ผ่านกระบวนการไฟโรไลซิสจะถูกทำให้มีขนาดไม่เล็กลง ซึ่งกระบวนการนี้ยากที่จะกำหนดหรือควบคุมให้ได้ผลิตตามที่ต้องการเนื่องด้วยความหลากหลายทางปฏิกิริยาและผลิตภัณฑ์ที่ได้จากการกระบวนการ วัตถุดิบที่สามารถนำมาใช้ในกระบวนการไฟโรไลซิสได้แก่ น้ำมันพืช ไขมันสัตว์ กรดไขมันธรรมชาติ (Natural Fatty Acid) และเมทิลเอสเทอร์ของกรดไขมัน เฟสของสารอินทรีย์ที่ถูกควบแน่นจะถูกแยกส่วนเพื่อนำไปผลิตพลังงานใบโอดีเซลโซลูชน์และใบโอดีเซล ส่วนประกอบทางเคมี (ไฮโดรคาร์บอนหนัก) ของอัตราส่วน (fraction) ของดีเซลมีความคล้ายคลึงกับพลังงานจากฟอสซิล

ตารางที่ 3 ข้อมูลส่วนประกอบน้ำมันจากการแตกตัวด้วยความร้อน (Pyrolysis) [9]

	Percent by weight			
	High oleic safflower		Soybean	
	N <sub>2</sub> sparge	Air	N <sub>2</sub> sparge	Air
Alkanes	37.5	40.9	31.1	29.9
Alkenes	22.2	22.0	28.3	24.9
Alkadienes	8.1	13.0	9.4	10.9
Aromatics	2.3	2.2	2.3	1.9
Unresolved unsaturated	9.7	10.1	5.5	5.1
Carboxylic acids	11.5	16.1	12.2	9.6
Unidentified	8.7	12.7	10.9	12.6

### 2.1.5 การผลิตแอลกิลเอสเตอร์โดยใช้เอนไซม์ไลเปส

ตัวเร่งปฏิกิริยาชีวภาพได้รับความสนใจในปัจจุบัน และมีความเหมาะสมทางเคมีสำหรับการผลิตใบโอดีเซลในอนาคต แนวทางใหม่ของใบโอดีเซลเคมีคลาสสำหรับกระบวนการผลิตใบโอดีเซลคือการใช้เอนไซม์ซึ่งกลไกเป็นลิงที่มีความน่าสนใจอย่างมาก งานวิจัยส่วนมากจะเน้นการแปรชันดของสารตั้งต้น เช่น ใช้น้ำมันรำข้าว น้ำมันทานตะวัน น้ำมันมะกอก และน้ำมันหล่อลื่น ไลเปส หลายตัวมาจากการตีงจุลชีพ(microbial strains) ประกอบไปด้วย Pseudomonas fluorescens, Pseudomonas cepacia, Rhizomucor miehei, Rhizopus oryzae, Candida rugosa,

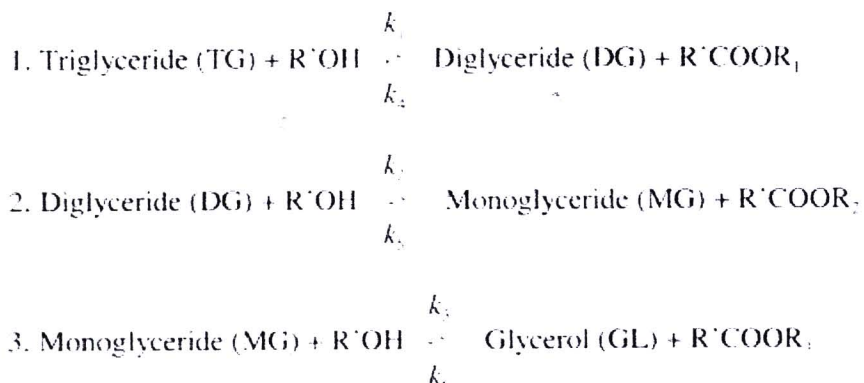
Thermomyces lanuginosus, และ Candida Antarctica ซึ่งถูกรายงานว่ามีความสามารถในการเกิดปฏิกิริยาทวนส์กอสเทอโรฟิเคชัน [10]

ปฏิกริยาท่านส์เอสเทอราฟิเดชันด้วยเคนไชม์ ใช้อุณหภูมิในการทำปฏิกริยาไม่สูงนักกับได้ค่าอัตราการเกิดผลิตภัณฑ์สูง แต่วิธีนี้ยังไม่สามารถนำมาใช้ได้ในเชิงอุตสาหกรรมในปัจจุบันเนื่องจากเคนไชม์มีราคาแพงและมีปัญหาเรื่องสารป้อนที่ไม่บริสุทธิ์จะไปเกิดกับความสามารถในการเกิดปฏิกริยา เ肯ไชม์ถูกตั้งขึ้นตัวรองรับเพื่อให้เป็นตัวเร่งชนิดวิธีพันธ์ แต่วิธีนี้สามารถเป็นไปได้ถ้าราคาเคนไชม์ถูกลง เช่น เ肯ไชม์นีถูกใช้ในชีวิตประจำวัน ใช้ในกระบวนการผลิตสิ่งทอหรือเครื่องหนัง เป็นต้น [11]

#### 2.1.6 กระบวนการทราบส์ເອສເຕອຣີຟີເຄັ້ນ

กระบวนการทราบส์เօสເທອຣີເຄື່ອນໄຫວ່າງນໍາມັນພື້ນທີ່ຂອງໄຊມັນສັກັບແລລກອຫວອດ ໂດຍໃຫ້  
ຕັ້ງເຮັດປະກິໂຮຍາເພື່ອຟອຽມຕັ້ງເປັນອັດຄືລເຄສເທອຣ ແລະກຳລືເຫວຼອລ ຜົນດີຂອງອັດຄືລເຄສເທອຣ  
ຢືນຢັນວ່າມັນສັກັບ ເຊັ່ນອໍານວຍດີເລີຍ

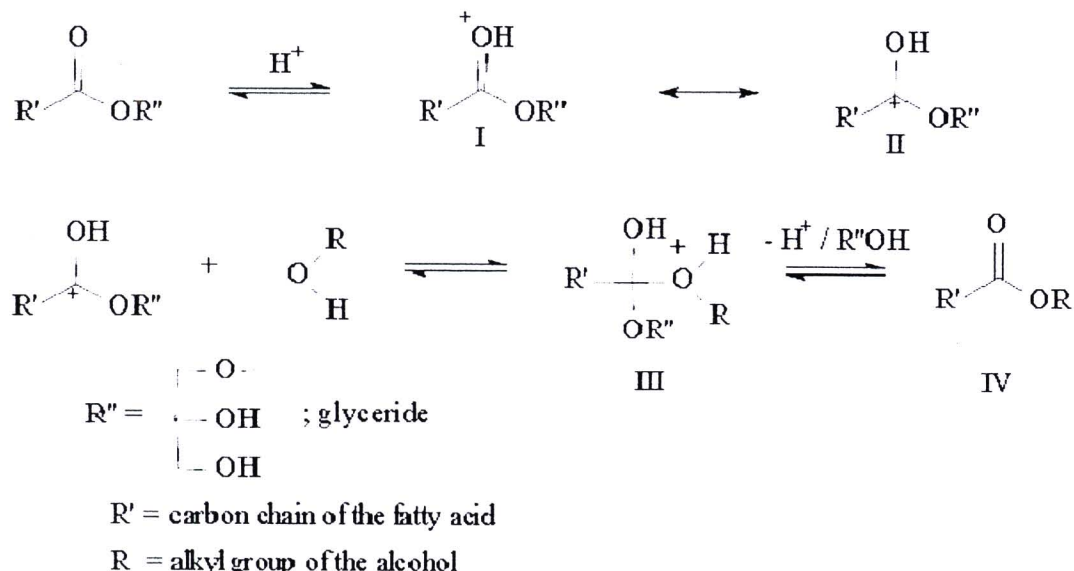
ไปโอดีเซลสามารถผลิตได้จากการควบคุมการทวนส์อสเทอโรฟิเคชันของไตรกลีเซอไรด์ที่มีกิ่งก้านสาขานาดใหญ่ไปเป็นกรดไขมันอเลอทีร์มีโมเลกุลเป็นสายโซ่สั้นตรงที่มีขนาดเล็กลงโดยใช้ด่างหรือกรดเป็นตัวเร่งปฏิกิริยา ปฏิกิริยานี้ประกอบไปด้วย 3 ขั้นตอน กับการฟอร์มตัวของสารมัธยัณฑ์ของไตรกลีเซอไรด์และโมโนกลีเซอไรด์จะได้ผลิตภัณฑ์คือกรดไขมันอเลอทีร์ 3 โมล และกลีเซอโรล 1 โมล [13] ปฏิกิริยาสามารถย้อนกลับได้เมื่อเข้าสู่สมดุล และการใช้แอลกอฮอล์ในปริมาณที่มากเกินพอก็พบว่าจะให้ปฏิกิริยาไปทางหน้าเป็นอันดับหนึ่งและปฏิกิริยา y ย้อนกลับเป็นอันดับสอง



รูปที่ 2 แสดงกระบวนการทรานส์ເອສທොර්පිකේෂන්ของໄຕරගලීເශෝටර් ග්‍රැනුලාඩ් මෙහෙයුම්

### 2.1.6.1 กระบวนการทรานส์อสเทอโรฟิเคลชันด้วยกรด [14]

กระบวนการทรานส์อสเทอโรฟิเคลชันซึ่งถูกเร่งด้วยกรดบรอนสเตดพบมากในกรดชัลโฟนิก และกรดชัลฟิวไรค์ ตัวเร่งตัวนี้จะให้อัตราการเกิดอัลกิลเอสเทอร์สูง แต่ปฏิกิริยาเกิดช้า และอุณหภูมิโดยทั่วไปสูงถึง 100 องศาเซลเซียส และใช้เวลามากกว่า 3 ชั่วโมงเพื่อค่าการเปลี่ยนแปลงเข้าสู่จุดสิ้นสุด



รูปที่ 3 กลไกการเกิดปฏิกิริยาทรานส์อสเทอโรฟิเคลชันด้วยกรดของน้ำมันพืช [14]

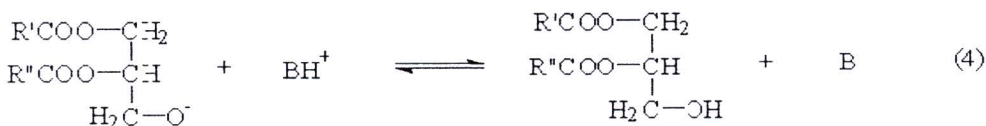
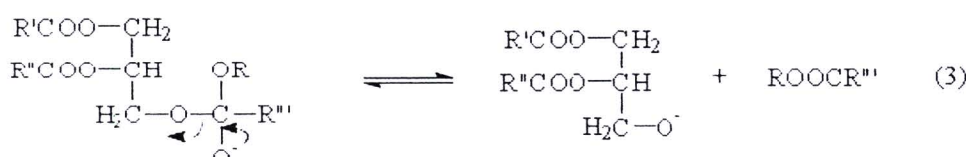
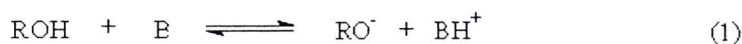
กลไกการเกิดปฏิกิริยาทรานส์อสเทอโรฟิเคลชันด้วยกรดของน้ำมันพืช แสดงดังรูปที่ 3 สำหรับไมนิกลีเชอไวร์ด อย่างไรก็ตาม มันสามารถอธิบายเพิ่มในส่วนของ ได- และไตรกลีเชอไวร์ได้ด้วย การเกิดโปรโตเนชันของกลุ่มคาร์บอนิลของเอสเทอร์นำไปสู่ carbocation II ซึ่งหลังจากเกิดการกระแทกด้วยนิวเคลียสของแอลกอฮอล์ (nucleophilic attack) ทำให้เกิดสารมัธยันต์ III ที่มีโครงสร้างเตตระไฮเดรอด ซึ่งกำจัดกลีเชอโรลไปพร้อมตัวเป็นเอสเทอร์ IV ใหม่และทำให้เกิดตัวเร่งปฏิกิริยา  $\text{H}^+$  ขึ้นมาใหม่

ตามกลไกนี้กรดคาร์บอซีลิกสามารถฟอร์มตัวโดยปฏิกิริยาของ carbocation II ซึ่งจะมีน้ำเกิดขึ้นในส่วนผสมจากการทำปฏิกิริยาด้วย ซึ่งแสดงให้เห็นว่าปฏิกิริยาทรานส์อสเทอโรฟิเคลชันด้วยกรดควรจะทำ ณ สภาพที่ไม่มีน้ำ เพื่อหลีกเลี่ยงการฟอร์มตัวของกรดคาร์บอซีลิก ซึ่งส่งผลต่อการลดลงของอัตราการเกิดอัลกิลเอสเทอร์



### 2.1.6.2 กระบวนการทรานส์เอสเทอเรฟิเคชันด้วยด่าง [14]

ปฏิกิริยาทรานส์เอสเทอเรฟิเคชันด้วยด่างของน้ำมันพืช เกิดปฏิกิริยาได้เร็วกว่าเมื่อใช้กรดใน การเร่งปฏิกิริยา เนื่องด้วยเหตุผลนี้ รวมถึงความจริงที่ว่าด้วยเร่งปฏิกิริยาชนิดด่าง มีการกัดกร่อนน้อยกว่าเมื่อใช้กรดเป็นส่วนประกอบ อย่างเช่น อัลคอลไฮเดรตหรือไฮดรอกไซเดอร์ของโลหะที่เป็นด่าง ที่นิยมใช้มากคือ โซเดียม หรือโพแทสเซียมคาร์บอเนต



รูปที่ 4 กลไกการเกิดปฏิกิริยาทรานส์เอสเทอเรฟิเคชันด้วยด่างของน้ำมันพืช [14]

กลไกการเกิดปฏิกิริยาด้วยด่างของน้ำมันพืช แสดงดังรูปที่ 4 ลำดับแรก (Eq.1) คือปฏิกิริยาของด่างกับแอลกอฮอล์ เกิดเป็นอัลคอลไฮเดรตและตัวเร่งที่เป็น protonated catalyst การกระแสทางของนิวเคลียสของอัลคอลไฮเดรตที่กลุ่มคาร์บอนิลของไตรกลีเซอไรด์เกิดเป็นสารมัธยัณฑ์ที่มีโครงสร้างเตตราซีดรอต (Eq.2) จากที่อัลคิลเอสเทอโรและแอนไฮดรอยด์ที่สอดคล้องกันของไตรกลีเซอไรด์ที่ฟอร์มตัวขึ้นพบว่า (Eq.3) การดีโปรโตเนต (deprotonate) ครั้งล่าสุดของตัวเร่งปฏิกิริยาทำให้เกิดบริเวณส่วนที่ว่องไว (Eq.4) ซึ่งสามารถทำปฏิกิริยากับโมเลกุลลำดับที่สองของแอลกอฮอล์ เริ่มต้นวงจรการเร่งปฏิกิริยาอื่นอีกรอบ ไตรกลีเซอไรด์ และโมโนกลีเซอไรด์จะถูกเปลี่ยนแปลงโดยกลไกการเกิดปฏิกิริยาเดียวกันไปเป็นสารผลsmith อัลคิลเอสเทอโรและกลีเซอรอล



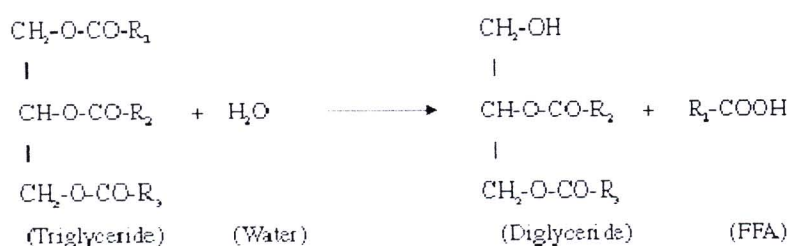
### 2.1.7 กระบวนการ 2 ปฏิกิริยา [15]

น้ำมันพืชและไสสัตว์ควรจะมีปริมาณน้ำและกรดไขมันอิสระปนอยู่ในปริมาณน้อย สำหรับปฏิกิริยาทวนส์เօสเทอวิฟิเคชันด้วยด่าง ตัวเร่งที่เป็นด่างจะเข้าทำปฏิกิริยา กับกรดไขมันอิสระเกิดการฟอร์มตัวของสนู๊รูปที่ 5 แสดงปฏิกิริยาสปอนนิฟิเคชันของตัวเร่งปฏิกิริยา (โซเดียมไฮดรอกไซด์) และกรดไขมันอิสระเกิดการฟอร์มตัวเป็นสนู๊และน้ำ



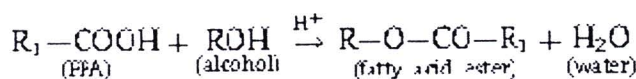
รูปที่ 5 ปฏิกิริยาสปอนนิฟิเคชัน [15]

ปฏิกิริยานี้ไม่เป็นที่ต้องการ เนื่องจากสนู๊ทำให้อัตราการเกิดเป็นไบโอดีเซลลดลง และยับยั้งการแยกชั้นของเօสเทอว์จากกลีเซอรอล นอกจากนี้ ยังหมายถึงต้องใช้ปริมาณตัวเร่งปฏิกิริยาเพิ่มขึ้นด้วย ซึ่งทำให้ระบบมีค่าใช้จ่ายเพิ่มขึ้นด้วย น้ำโดยทั่วไปจะมาจากการน้ำมันและไสสัตว์ หรือเกิดจากการฟอร์มตัวของปฏิกิริยาสปอนนิฟิเคชันซึ่งจะไปหน่วงปฏิกิริยาทวนส์เօสเทอวิฟิเคชันด้วยปฏิกิริยาไฮโดรไลซิส มันสามารถไฮโดรไลซ์ไดรัลีเชอไรด์ไปเป็นไดกเลอฟิโริด์และฟอร์มตัวเป็นกรดไขมันอิสระมากขึ้น ปฏิกิริยาไฮโดรไลซิสแสดงดังรูปที่ 6



รูปที่ 6 ปฏิกิริยาไฮโดรไลซิส [15]

อย่างไรก็ตาม กรดไขมันอิสระสามารถฟอร์มตัวเป็นเօสเทอว์ (ไบโอดีเซล) โดยปฏิกิริยาเօสเทอวิฟิเคชันตามด้วยปฏิกิริยาทวนส์เօสเทอวิฟิเคชันด้วยด่าง ปฏิกิริยาเօสเทอวิฟิเคชันมีประโยชน์อย่างมากในการจัดการน้ำมันหรือไสสัตว์ที่ค่ากรดไขมันอิสระสูง ดังแสดงในรูปที่ 7



รูปที่ 7 ปฏิกิริยาเօสเทอวิฟิเคชัน [15]

โดยทั่วไป ตัวเร่งปฏิกิริยาสำหรับปฏิกิริยาทวนส์เอสเทอราฟิเคลชันด้วยกรดซัลฟิวริก มีค่าอัตราการเกิดปฏิกิริยาต่ำและต้องใช้อัตราส่วนของแอกโซฮอล์ต่อน้ำมันสูง ดังนั้นจึงไม่ได้รับความสนใจมากเท่าปฏิกิริยาทวนส์เอสเทอราฟิเคลชันด้วยด่าง

## 2.2 วัตถุดิบสำหรับผลิตไบโอดีเซล

### 2.2.1 น้ำมันเหลือทิ้ง

มีงานวิจัยจำนวนมากศึกษาการผลิตไบโอดีเซลจากน้ำมันเหลือทิ้งไม่ว่ามาจากการทำอาหาร หรือน้ำมันจากโรงงานอุตสาหกรรมต่างๆ เพื่อขอใบอนุญาตดิจิการผลิตไบโอดีเซลจากน้ำมันตั้งต้นชนิดนี้ ไม่ว่าจะเป็นการช่วยลดปัญหาเรื่องการนำน้ำมันที่ผ่านการทำอาหารแล้วมาบริโภคเข้า ซึ่งจะส่งผลต่อปัญหาสุขภาพ หรือการแทนน้ำมันทึบลงสูญเสีย แม่น้ำหรือสิ่งแวดล้อมอื่นๆ ซึ่งจะกลยุทธ์เป็นปัญหาสิ่งแวดล้อมต่อไป แต่การใช้วัตถุดิบชนิดนี้ยังคงมีปัญหาระบุกกรดไขมันอิสระ ปราภภอยู่ ซึ่งกรดไขมันอิสระและน้ำของสารตั้งต้นจะส่งผลให้เกิดสนิมในปฏิกิริยาทวนส์เอสเทอราฟิเคลชันด้วยกรด ตารางที่ 4 แสดงตัวอย่างกรดไขมันที่ปนอยู่ในน้ำมันพืชใช้แล้วจากการทำอาหาร

ตารางที่ 4 แสดงส่วนประกอบของกรดไขมันและน้ำหนักโมเลกุล (MW) ของน้ำมันถั่วเหลืองที่ผ่านการทำอาหารแล้ว [16]

กรดไขมัน	MW	ปริมาณในน้ำมันถั่วเหลืองที่ผ่านการทำอาหารแล้ว, %
Palmitic (16:0)	256	11.5
Stearic (18:0)	284	4.0
Oleic (18:1)	282	24.5
Linoleic (18:2)	280	53.0
Linolenic (18:3)	278	7.0

### 2.2.2 ไขสัตว์ [9]

ไขสัตว์เป็นพอกไม่ละลายน้ำ ซึ่งเกิดจากการรวมตัวกันของ 1 มอลกลีเซอโรล และ 3 มอลของกรดไขมัน ไขสัตว์มักมีกรดไขมันที่มีสายโซ่carbonที่ยาว และมีจำนวนพันธะที่ไม่อิ่มตัวมาก (พันธะคู่) ยกตัวอย่างเช่น ไขวัว มีส่วนประกอบของกรดไขมันอิ่มตัวมากถึง 50% ของกรดไขมันทั้งหมด ไขวัวที่มีส่วนประกอบของกรดสเตียริกและปาล์มมิติคที่สูงชื่น จะทำให้มีคุณสมบัติในการหลอมเหลวและความหนืดสูง

ตารางที่ 5 คุณสมบัติและส่วนประกอบของไขวัวดิบ [9]

คุณสมบัติ	
Iodine number	35-48
Saponification number	193-202
Titer, C	40-46
Wiley melting point, C	47-50
ส่วนประกอบของกรดไขมัน, wt.%	
Myristic	2-8
Palmitic	24-37
Stearic	14-29
Oleic	40-50
Linoleic	1-5
ส่วนประกอบของกลีเซอไรด์, mole%	
Total GS3	15-28
Total GS2U	46-52
Total GSU2	20-37
Total GU3	0-2

### 2.2.3 น้ำมันปาล์ม [17]

น้ำมันปาล์มสามารถหาได้ในหลายรูปแบบ ไม่ว่าจะเป็น น้ำมันปาล์มดิบ ปาล์มโอลีอิน ปาล์มสเตียริน เป็นต้น

ส่วนเนื้อปาล์มมีส่วนประกอบประมาณ 70-80% ของน้ำหนักของผล และ 45-50% ของเปลือกปาล์มนี้คือน้ำมัน ส่วนที่เหลือของผลประกอบไปด้วย เปลือก เมล็ด น้ำ และเส้นใยอื่นๆ น้ำมันที่สกัดออกมากล่าวเรียกว่า น้ำมันปาล์มดิบ (CPO)

น้ำมันปาล์มมีส่วนประกอบเหมือนไข่และน้ำมันตามธรรมชาติโดยทั่วไป นั่นคือ มีส่วนประกอบหลักเป็นไตรกลีเซอโรล ได และในกลีเซอโรล กรดไขมันอิสระ ความชื้น ผุ่นผง และส่วนประกอบรองลงมาก็เป็นพอกอื่นๆ ที่ไม่ใช่พอกน้ำมันอิสระที่ไม่มีคุณสมบัติในการเกิดสปอนนิฟิเคชัน

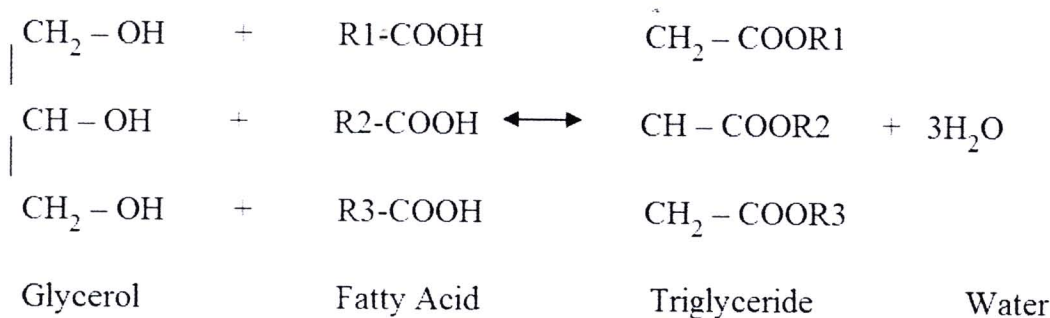


รูปที่ 8 ผลปาล์ม [18]

### ส่วนประกอบของน้ำมันปาล์ม

#### 1. ไตรกลีเซอไรด์

มีส่วนประกอบทางเคมีคือ 1 โมเลกุลของกลีเซอโรลสร้างพันธุ์กับ 3 โมเลกุลของกรดไขมัน



รูปที่ 9 แสดงการฟอร์มตัวของไตรกลีเซอไรด์ [17]

กรดไขมันสามารถมีชนิดเดียวกันหรือแตกต่างกันก็ได้ คุณสมบัติของไตรกลีเซอไรด์ขึ้นอยู่กับความแตกต่างของกรดไขมันที่ประกอบกันจนฟอร์มตัวเป็นไตรกลีเซอไรด์

กรดไขมันโดยส่วนตัวของมันเองมีความแตกต่างกันอันเนื่องมาจากการความยาวของสายโซ่ และระดับความอิ่มตัว กรดไขมันสายสั้นจะมีจุดหลอมเหลวที่ต่ำกว่าและมีความสามารถละลายน้ำได้มากกว่า ในขณะที่กรดไขมันสายยาวจะมีจุดหลอมเหลวที่สูงขึ้น จุดหลอมเหลวจะขึ้นอยู่กับระดับความไม่อิ่มตัว กรดที่ไม่อิ่มตัวจะมีจุดหลอมเหลวต่ำกว่าเมื่อเปรียบเทียบกับกรดที่อิ่มตัว เมื่อมีความยาวของสายโซ่ใกล้เคียงกัน

กรดไขมันหลักๆที่มีมากในน้ำมันปาล์มคือ C16:0(อิ่มตัว) กรดปาล์มมิติก และC18:1(เมื่อ อิ่มตัว) กรดโอลีอิค กรดไขมันโดยทั่วไปที่ประกอบในน้ำมันปาล์ม แสดงดังตารางที่ 6

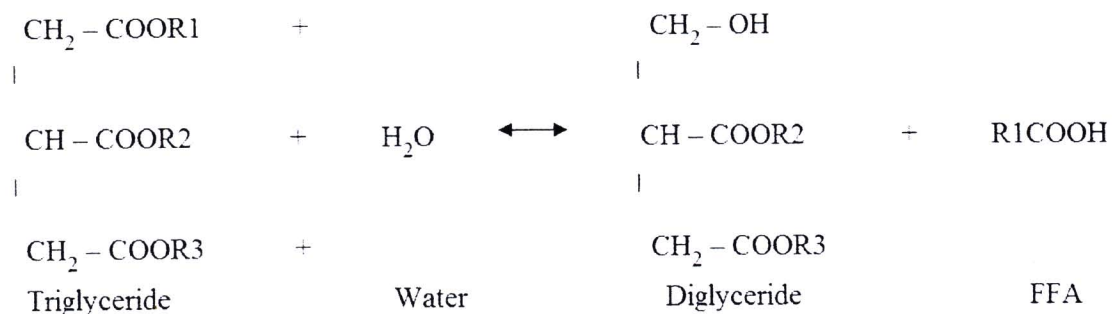
ตารางที่ 6 ส่วนประกอบของกรดไขมันในน้ำมันปาล์ม [17]

กรดไขมัน	ปริมาณ (%)
Palmitic C16:0	44%
Stearic C18:0	4.5%
Oleic C18:1	39.2%
Linoleic C18:2	10.1%
Myristic C14:0	1.1
Lauric C12:0	0.2%
Others	0.9%

## 2. โนโนน แล้วไดกลีเซอไรด์ และกรดไขมันอิสระ

เมื่อมีความร้อนและน้ำเกิดขึ้น ไตรกลีเซอไรด์จะแตกออกโดยกระบวนการไฮดรолิซิส เพื่อฟอร์มตัวเป็นกรดไขมันอิสระ ดังนั้นอัตราการเกิด โนโนน แล้วไดกลีเซอไรด์ และกรดไขมันอิสระ จะมีผลอย่างมากต่อการปรับปรุงคุณภาพของน้ำมันปาล์ม

กระบวนการไฮโดรไลซิสแสดงดังรูปข้างล่าง :



รูปที่ 10 ปฏิกิริยาไฮโดรไลซิส [17]

โมโน และไดกลีเซอไรด์ มีปริมาณประมาณ 3 ถึง 6% โดยน้ำหนักของกลีเซอไรด์ในน้ำมันน้ำมันที่ดีจะมีปริมาณของโมโนและไดกลีเซอไรด์ที่ต่ำกว่า ซึ่งพูดได้ว่ามีความลำดับมากที่สุดในกระบวนการแยกส่วน (Fractionation process) เนื่องจากมันมีพฤติกรรมที่ทำให้เกิดอิมัลชันยับยั้งการฟอร์มตัวของผลึก และทำให้การกรองได้ยาก

### 3. ความชื้นและผุน

สิ่งนี้เป็นผลมาจากการกระบวนการบด (Milling practice) การบดที่ดีจะช่วยลดความชื้นและผุนในน้ำมันปาล์ม แต่โดยทั่วไปนั้นจะมีช่วงอยู่ใน 0.25%

### 4. สิ่งเจือปนรอง

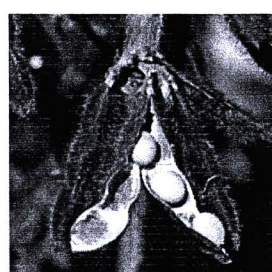
สิ่งเจือปนนี้ถูกจัดแบ่งเป็นอีกหมวดหมู่หนึ่ง เนื่องจากสิ่งเจือปนเหล่านี้เป็นไซตามธรรมชาติ แต่ไม่ใช่น้ำมันจริง ซึ่งอาจไม่สามารถสปอนนิฟิเคชันได้ ซึ่งประกอบไปด้วย Caroteneoids, Tocopherols, Sterols, Polar Lipids และสิ่งเจือปนซึ่งประกอบอยู่ในน้ำมันปาล์มดิบ (CPO) ดังแสดงในตารางที่ 7

### ตารางที่ 7 สิ่งเจือปนในน้ำมันปาล์มดิบ (CPO) [17]

Substances	Content
กรดไขมันอิสระ ,FFA	3 - 5%
ย่างเหี้ยวยา (phospholipids, phosphotides)	300 ppm
ผู้ต่างๆ	0.01%
เปลือกปาล์ม	Trace
ความชื้น และสิ่งเจือปนต่างๆ	0.15%
โลหะที่อยู่ในสิ่งมีชีวิต	0.50%
ผลิตภัณฑ์ที่เกิดจากการอุดชีวนะ	Trace
คาร์โรทีนอยด์ทั้งหมด	500 - 1000 mg/ke

#### 2.2.4 น้ำมันถั่วเหลือง [10]

การผลิตไบโอดีเซลจากน้ำมันถั่วเหลืองเป็นที่นิยมมาก นักวิจัยหลายท่านพยายามเจาะจง หาสภาวะที่เหมาะสมในการทำปฏิกิริยา เช่น ระบบการเร่งปฏิกิริยา ชนิดของตัวทำละลาย และตัวรองรับ น้ำมันถั่วเหลืองมีกรดไขมันหลักๆ 5 ตัวด้วยกันคือ กรดปาล์มมิติก (palmitic acid) และ กรดโอลีอิค (oleic acid) ซึ่งมีปริมาณพอๆ กัน กรดไลโนเลนิก (linolenic acid) ประมาณ 13% กรดไลโนเลอิค (linoleic acid) ประมาณ 55% และกรดสเตียริก (stearic acid) ประมาณ 4% ไบโอดีเซลที่ผลิตจากน้ำมันถั่วเหลืองจะมีความสามารถในการสลายตัวเพิ่มขึ้น จุดวาบไฟเพิ่มขึ้น มีความเป็นพิษลดลง และมีค่าหล่อล้นเพิ่มขึ้น น้ำมันถั่วเหลืองมีค่าไอโอดีนสูง เมื่อเปรียบเทียบกับสารตั้งต้นในการผลิตไบโอดีเซลชนิดอื่นๆ (สังเกตว่ามีค่าระดับความอิมตัวต่ำเมื่อเปรียบเทียบกับ น้ำมันชนิดอื่น เช่นน้ำมันเม็ดเทพ และคาโนลา) แต่ก็ยังไม่มีงานวิจัยที่ยืนยันชัดเจนว่าความเสถียร ในการออกซิเดทีฟของไบโอดีเซลมีผลมาจากการค่าไอโอดีนซึ่งจะส่งผลต่อค่าความเสถียรของมัน ค่าไอโอดีนเป็นตัวแปรระดับความไม่อิมตัวของกรดไขมันในน้ำมัน ซึ่งเมื่อมีกรดไขมันอิมตัวมากขึ้นจะ ทำให้ความร่องไวในการเกิดออกซิเดช์ลดลง



รูปที่ 11 ถั่วเหลือง [19]

### 2.2.5 น้ำมันมะพร้าว [20]

น้ำมันมะพร้าวประกอบไปด้วยน้ำมันที่อิ่มตัว จากตารางที่ 8 แสดงให้เห็นว่า น้ำมันมะพร้าวมีกรดไขมันอิ่มตัวประมาณ 92% มาจากการดึงค่าโพโรอิค (caproic) จนถึง สเตียริค (stearic) และมีกรดไขมันไม่อิ่มตัวเพียงรากๆ 8% ซึ่งประกอบไปด้วยโอลีลิค (oleic acid) และไลโนเลอิค (linoleic acid)



รูปที่ 12 มะพร้าว [21]

น้ำมันมะพร้าวเป็นที่รู้จักกันว่ามีประโยชน์เนื่องจากมีส่วนประกอบของกรดไขมันที่เป็นที่ต้องการในอุตสาหกรรมโอลีโอเคมิคอล (oleochemical industry) ซึ่งกรดไขมัน C12 และ C14 เป็นที่ต้องการ ตารางที่ 8 แสดงส่วนประกอบของกรดไขมันน้ำมันมะพร้าว

กรดไขมัน คาโพโรอิค (caproic) จนถึง คาพريค (capric) (C6-C10) เมื่อแยกส่วนมีส่วนประกอบประมาณ 15% ที่เป็นวัตถุดิบที่ดีต่อการนำไปใช้เป็น plasticizer range alcohol และสำหรับ polyol esters นอกจากนี้ยังเป็นน้ำมันคุณภาพสูงสำหรับเครื่องยนต์เจ็ท และสำหรับสารหล่อลื่นรุ่นใหม่ อัตราส่วนของกรดชนิดนี้ถือเป็นวัตถุดิบสำหรับอุตสาหกรรมของไตรกลีเซอไรด์ที่มีสายโซ่ยาวปานกลาง

กรดไขมัน C12-C18 มีอัตราส่วนประมาณ 85% ของกรดไขมันที่ปรากฏอยู่ในน้ำมันมะพร้าว ซึ่งเป็นวัตถุดิบหลักที่ใช้ในอุตสาหกรรมโอลีโอเคมิคอล

ตารางที่ 8 ส่วนประกอบของกรดไขมันในน้ำมันมะพร้าว [20]

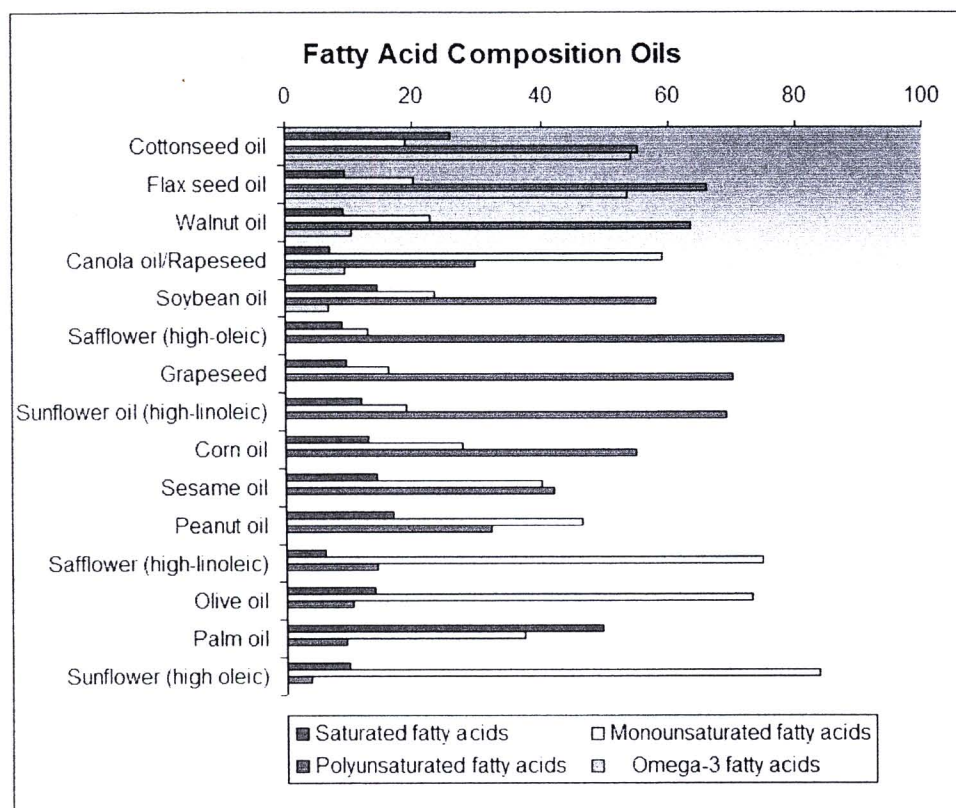
กรดไขมัน	สูตรโมเลกุล	สัดส่วนในน้ำมันมะพร้าว (%)
Caproic	$C_6H_{12}O_2$	0.2–0.8
Caprylic	$C_8H_{16}O_2$	6–9
Capric	$C_{10}H_{20}O_2$	6–10
Lauric	$C_{12}H_{24}O_2$	46–50
Myristic	$C_{14}H_{28}O_2$	17–19
Palmitic	$C_{16}H_{32}O_2$	8–10
Stearic	$C_{18}H_{36}O_2$	2–3
Oleic	$C_{18}H_{34}O_2$	5–7
Linoleic	$C_{18}H_{32}O_2$	1–2.5

ตารางที่ 9 คุณสมบัติทางพิสิกส์บางตัวของน้ำมันมะพร้าวดิบ [22]

คุณสมบัติ	น้ำมันมะพร้าวดิบ (CCO)
ความหนาแน่นที่ 27 °C (g/ml)	0.909
ความหนืดเชิงจลนพลศาสตร์ ( $mm^2/s$ )	24.85
กรดไขมันอิสระ (%)	2.25 (as lauric acid)
ความชื้น (%)	0.17

### 2.3 ส่วนประกอบทางเคมีของน้ำมันและไขสัตว์

น้ำมันพืชหรือไขสัตว์โดยทั่วไปคือเอสเทอร์ของกรดโมโนคาร์บอฟิลิก (monocarboxylic acids) ที่อิมตัว และไม่อิมตัว กับ trihydric alcohol glyceride เอสเทอร์ชนิดนี้มักถูกเรียกว่าไตรกลีเซอไรด์ รูปที่ 13 แสดงส่วนประกอบแสดงกรดไขมันที่อิมตัว และไม่อิมของน้ำมันแต่ละชนิด ตารางที่ 10 แสดงส่วนประกอบของกรดไขมันในน้ำมันชนิดต่างๆ ตารางที่ 11 คุณสมบัติน้ำมัน เชื่อเพลิงใบโอดีเซลที่ห้องคปประกอบกรดไขมันแตกต่างกัน



รูปที่ 13 แสดงส่วนประกอบแสดงกรดไขมันที่อิมตัวและไม่อิมของน้ำมันแต่ละชนิด [23]

ตารางที่ 10 แสดงส่วนประกอบของกรดไขมันในน้ำมันชนิดต่างๆ [8]

fatty acid	fatty acid composition, wt %							
	myristic	palmitic	palmitoleic	stearic	oleic	linoleic	linolenic	sat.
	14:00 <sup>a</sup>	16:00	16:01	18:00	18:01	18:02	18:03	(%)
rapeseed oil		3.5		0.9	64.4	22.3	8.2	4.4
virgin olive oil		9.2	0.8	3.4	80.4	4.5	0.6	12.6
sunflower oil		6		4.2	18.7	69.3		10.2
safflower oil		5.2		2.2	76.3	16.2		7.4
soybean	0.1	10.6		4.8	22.5	52.3	8.2	15.5
palm oil	1.2	47.9		4.2	37	9.1	0.3	53.3
choice white grease		23.3	3.5	11	47.1	11	1	37.8
poultry fat		22.2	8.4	5.1	42.3	19.3	1	35.7
lard	1.7	17.3	1.9	15.6	42.5	9.2	0.4	34.6
edible tallow	4.8	28.4		14.8	44.6	2.7		52
yellow grease	2.4	23.2	3.8	13	44.3	7	0.7	38.6
brown grease	1.7	22.8	3.1	12.5	42.4	12.1	0.8	37

<sup>a</sup> 14:00, the alkyl chain contains 14 carbons and zero double bonds.

ตารางที่ 11 คุณสมบัติน้ำมันเชื้อเพลิงไบโอดีเซลที่องค์ประกอบกรดไขมันแตกต่างกัน [24]

ชนิดของกรดไขมัน	อิ่มตัว (12:0, 14:0, 16:0, 18:0, 20:0, 22:0)	ไม่อิ่มตัว 1 พันละ (16:1, 18:1, 20:1, 22:1)	ไม่อิ่มตัวหลายตัว หลายพันละ (18:2, 18:3)
ค่าซีเทน	สูง	ปานกลาง	ต่ำ
จุด狐狸	สูง	ปานกลาง	ต่ำ
เสถียรภาพต่อการ เกิดปฏิกิริยา ออกซิเดชัน	สูง	ปานกลาง	ต่ำ
NOx Emission	ลดลง	เพิ่มขึ้นเล็กน้อย	เพิ่มขึ้นอย่างมาก

## 2.4 งานวิจัยที่เกี่ยวข้อง

งานวิจัยที่เกี่ยวข้องจะแบ่งเป็น 3 ส่วนด้วยกันคือ ส่วนแรกเป็นงานวิจัยที่ใช้กรดซัลฟิวริกในการทำปฏิกิริยา ส่วนที่สองเป็นงานวิจัยที่ใช้ถ่านกัมมันต์เป็นตัวรองรับ และส่วนสุดท้ายเป็นงานวิจัยเรื่องผลกระทบจากน้ำต่อบัญชีปฏิกิริยาเอสเทอโรฟิเดชัน

### 2.4.1 งานวิจัยที่ใช้กรดซัลฟิวริกในการทำปฏิกิริยา

ในปี ค.ศ. 2008 Marchetti และคณะ ได้ทำการศึกษาการทำปฏิกิริยาเอสเทอโรฟิเดชัน เมื่อใช้กรดซัลฟิวริกเป็นตัวเร่งปฏิกิริยา และใช้ethanolในการทำปฏิกิริยาแทนmethanolเนื่องจากความเป็นพิษน้อยกว่า และปลอดภัยกว่าในการใช้งาน สารตั้งต้นที่ใช้คือ กรดโคลอิคสมกับน้ำมันทานตะวันที่ผ่านการปรับปรุงคุณภาพแล้ว เพื่อศึกษาผลกระทบของ อุณหภูมิ ปริมาณตัวเร่งปฏิกิริยา และอัตราส่วนแอลกอฮอล์ต่อน้ำมัน พบว่าอุณหภูมิมีผลต่อค่าการเปลี่ยนแปลงของกรดไขมันอิสระ (conversion FFA) เมื่อ ทดลองที่ 35 45 และ 55 องศาเซลเซียส ณ สภาพการทดลองเดียวกัน (ปริมาณตัวเร่งปฏิกิริยา 2.261% อัตราส่วนเชิงโมลาร์ 6.125:1 กรดไขมันอิสระเริ่มต้น 10.684% ความเร็วรอบ 200 รอบต่อนาที เวลาในการทำปฏิกิริยา 240 นาที) โดยพบว่าเมื่ออุณหภูมิเพิ่มขึ้น ส่งผลให้ค่า conversion FFA เพิ่มขึ้นด้วย และมีพฤติกรรมเป็นระบบบดูดความร้อน เมื่อเปลี่ยนมาเปรค่าปริมาณตัวเร่งปฏิกิริยา (1.026 2.261 และ 5.139%w/w) ณ อุณหภูมิ 45 องศาเซลเซียส พบว่าการเปลี่ยนปริมาณตัวเร่งปฏิกิริยา มีผลต่ออัตราการทำปฏิกิริยาเริ่มต้นเท่านั้น แต่มิได้ส่งผลต่อค่าการเปลี่ยนแปลงของกรดไขมันอิสระสุดท้าย เนื่องจากได้ค่าเดียวกัน ส่วนเมื่อทดลองการเปรค่าของอัตราส่วนแอลกอฮอล์ต่อน้ำมัน (10.052:1, 6.126:1 และ 4.212:1) ณ อุณหภูมิ 45 องศาเซลเซียส ปริมาณตัวเร่งปฏิกิริยา 2.261% พบว่าที่อัตราส่วนต่ำปฏิกิริยาจะเกิดขึ้นเร็วกว่าแต่มีค่าการเปลี่ยนแปลงของกรดไขมันอิสระต่ำกว่าเมื่อเปรียบเทียบกับการใช้อัตราส่วนที่มีค่าสูงกว่า ซึ่งถึงแม้จะได้ค่าเปลี่ยนแปลงของกรดไขมันอิสระสูงกว่าแต่อัตราการเกิดปฏิกิริยาช้า ซึ่งไม่ตรงตามหลักที่ว่าการเพิ่มปริมาณแอลกอฮอล์จะทำให้ปฏิกิริยาเกิดได้ดีขึ้น อาจจะเนื่องมาจากเวลาในการทำปฏิกิริยา yang ไม่พอเพียง [3]

#### 2.4.2 งานวิจัยที่ใช้ถ่านกัมมันต์เป็นตัวรองรับ

ในปี ค.ศ. 2009 GAN Mengyu ได้ทำการศึกษาปฏิกิริยาเօสเทอเรชันของน้ำมันเหลืองที่จากการทดสอบอาหาร (Acid value 40.06 mg KOH/g หรือประมาณ 20% โดยน้ำหนัก) กับเมทาโนอล โดยใช้ตัวเร่งปฏิกิริยา  $\text{Fe}_2(\text{SO}_4)_3/\text{C}$  โดยตัวเร่งปฏิกิริยามีคุณสมบัติเริ่มต้นดังตารางที่ 12 ดังโดยวิธีการดูดซับตัวยึดก้าวในต่อๆ เนื่อง

ตารางที่ 12 แสดงคุณสมบัติเริ่มต้นของตัวเร่งปฏิกิริยาในการทดลองของ GAN Mengyu [7]

ตัวอย่าง	พื้นที่ผิว ( $\text{m}^2/\text{g}$ )	เส้นผ่าศูนย์กลางรูพ魯นสูงสุด (nm)	ปริมาตรรูพ魯น(ml/g)
ถ่านกัมมันต์ (AC)	1410	5.4	0.54
$\text{Fe}_2(\text{SO}_4)_3/\text{C}$	736	4.2	0.26

เมื่อเปรียบเทียบความสามารถในการเร่งปฏิกิริยาปฏิกิริยาของ  $\text{Fe}_2(\text{SO}_4)_3/\text{C}$  กับ  $\text{H}_2\text{SO}_4$  (liq.) ณ อุณหภูมิ 368.15 K ปริมาณของตัวเร่งปฏิกิริยา 5.5% อัตราส่วนเชิงโมล เมทานอล/FFA 15:1 พบร่วมกันในตอนเริ่มต้นปฏิกิริยา  $\text{H}_2\text{SO}_4$  (liq.) ทำปฏิกิริยาได้ดีกว่าจนกระทั่งเวลาผ่านไป 4 ชั่วโมง หลังจากนั้น  $\text{Fe}_2(\text{SO}_4)_3/\text{C}$  จึงจะได้ค่า conversion FFA สูงกว่า นอกจากนี้การใช้ตัวเร่งปฏิกิริยาของแข็งมีความสะดวกในการใช้ช้ามากกว่าเนื่องจากสามารถแยกจากผลิตภัณฑ์และนำกลับใช้ใหม่ได้ เมื่อทดลองแปรค่าปริมาณตัวเร่งปฏิกิริยาจาก 0-7.5% โดยน้ำหนักของน้ำมัน ณ สภาพ อุณหภูมิ 368.15K อัตราส่วนเชิงโมล เมทานอล/FFA 18:1 พบร่วมค่า conversion FFA เพิ่มขึ้นเมื่อเพิ่มปริมาณตัวเร่งจนถึง 3% หลังจากนั้นการเพิ่มขึ้นของปริมาณตัวเร่งไม่มีผลต่อการเพิ่ม conversion FFA เมื่อทดลองแปรค่าอัตราส่วนเชิงโมล เมทานอล/FFA (9:1, 12:1, 15:1, 18:1 และ 21:1) โดยใช้ปริมาณตัวเร่งปฏิกิริยา 3.5% พบร่วมการเพิ่มปริมาณเมทานอลมีผลทำให้การทำปฏิกิริยาเร็วขึ้น ในขณะที่อุณหภูมนี้เป็นปัจจัยหนึ่งที่มีผลต่ออัตราการเกิดปฏิกิริยาเօสเทอเรชัน ได้ทดลองโดยแปรค่าในช่วง 338.15K จนถึง 368.15K อัตราการการทำปฏิกิริยาเพิ่มขึ้นอย่างรวดเร็วเมื่ออุณหภูมิเพิ่มขึ้น เมื่อนำตัวเร่งปฏิกิริยาไปทดลองการใช้ช้าจำนวน 4 รอบ พบร่วมกับหลังจากทำปฏิกิริยารอบแรกความสามารถในการเข้าทำปฏิกิริยาลดลงมากแต่หลังจากนั้นในรอบ 2-4 จะมีค่าคงคล่อง [7]

### 2.4.3 งานวิจัยเรื่องผลกระทบจากน้ำต่อปฏิกิริยาเอสเทอโรฟิเคลชัน

ใน ค.ศ. 2010 Ji-Yeon Park ได้ศึกษาผลของน้ำที่มีต่อปฏิกิริยาเอสเทอโรฟิเคลชันของกรดโอลิอิคและน้ำมันที่มีความเป็นกรดสูงกับเมทานอล โดยใช้ Amberlyst-15 และ  $H_2SO_4$  (liq.) ณ สภาพที่ใช้ในการศึกษาคืออัตราส่วนเชิงโมลาร์ของน้ำมันต่อแอกโซฮอร์ 1:3 และ 1:6 ส่วนอุณหภูมิในการทำปฏิกิริยา 60 ถึง 80 องศาเซลเซียส อัตราการเกิดปฏิกิริยาเอสเทอโรฟิเคลชันมีค่าลดลง เมื่อปริมาณน้ำเริ่มต้นมีค่า 20% ของน้ำมัน โดยอัตราการเข้าทำปฏิกิริยาของ Amberlyst-15 ลดลงเร็วกว่าใช้กรดซัลฟิวริกเนื่องจากการเกิด poisoning ของด้านที่เป็นกรดอันเกิดจากน้ำ ปฏิกิริยาเอสเทอโรฟิเคลชันด้วยกรดซัลฟิวริกไม่พบผลกระทบจากน้ำเมื่อมีน้ำเพิ่มขึ้นมา 5% ณ สภาพ อัตราส่วนน้ำมันต่อเมทานอล 1:6 [25]

ในปี ค.ศ. 2010 Pisarello ได้ทำการศึกษาปฏิกิริยาลำดับที่สองของปฏิกิริยาเอสเทอโรฟิเคลชัน หรือคือปฏิกิริยาไฮโดรไอลิซิส ซึ่งอาจเกิดผลกระทบต่อปฏิกิริยาเอสเทอโรฟิเคลชัน โดยทำการทดลอง ณ สภาพ ความเป็นกรดของน้ำมันพีซ 18% อัตราส่วนเชิงโมลาร์ของเอทานอล:FFA 15:1 ปริมาณกรดซัลฟิวริก 0.2 vol% อุณหภูมิในการทดลอง 70°C โดยเริ่มน้ำมันวัตถุดิบไม่มีโมโน และไดกลีเซอไรด์ สิบนาทีหลังจากเริ่มปฏิกิริยาพบไดกลีเซอไรด์ 2.1 wt.% ในขณะที่โมโนกลีเซอไรด์ยังไม่พบ ณ เวลานี้ หลังจากทำปฏิกิริยาไปสองชั่วโมงระบบประกอบไปด้วยโมโนกลีเซอไรด์ 1.02 wt.% และ ไดกลีเซอไรด์ 7.4 wt.% นอกจากนี้ยังพบการเปลี่ยนแปลงของความเข้มข้นของน้ำ และกรดไขมันอิสระอีกด้วยเมื่อเวลาผ่านไป ในขณะที่ค่าอัตราการเกิดเอสเทอรอยังคงสูงขึ้นอย่างต่อเนื่อง แสดงให้เห็นว่าในระหว่างเกิดปฏิกิริยาเอสเทอโรฟิเคลชัน ได้มีปฏิกิริยาอื่นเกิดขึ้นด้วย และปฏิกิริยาไฮโดรไอลิซิสทำให้เกิดการฟอร์มตัวของไดกลีเซอไรด์ โมโนกลีเซอไรด์ และกรดไขมันอิสระปฏิกิริยาทรานส์เอสเทอโรฟิเคลชันทำให้เกิดการฟอร์มตัวของเอสเทอรอย่างมีน้อย (ได- โมโนกลีเซอไรด์ และ กลีเซอโรล) ปริมาณของเอสเทอรอย่างมากเกิดจากปฏิกิริยาทรานส์เอสเทอโรฟิเคลชันด้วยกรดเมื่อปฏิกิริยาเอสเทอรอยไม่ส่งผลต่อไดกลีเซอไรด์ [1]

ตารางที่ 13 งานวิจัยที่ได้�าชี้ว่า ปรับกระบวนการกรองและลดกรดในน้ำมันพืชเป็นกรด

Material	Method	Condition			Result	Ref
		Temp (°C)	Rx Time (hr)	Molar ratio		
1. Sunflower oil, coconut oil	Conventional (homogeneous catalyst)	70	4	alcohol/FFA 15:1, 8:1 and 7:1	Reduce acid value from 18% in the beginner to 1.32%	[1]
2. Methanol and ethanol 96%						
3. Sulfuric acid						
1. Sunflower oil	Conventional (homogeneous catalyst)	60	2	methanol/oleic acid 60:1	Reduce acid value from 7 mg KOH/g oil in the beginner to <1 mg KOH/g	[26]
2. Methanol						
3. Sulfuric acid						
1. Refined sunflower oil with pure oleic acid	Conventional (homogeneous catalyst)	35, 45 and 55	4	alcohol/oil 10.052, 6.126, 4.212.	Reduce FFAs content 10.684% in the beginner to 0.54%	[27]
2. Anhydrous ethanol						
3. Sulfuric acid (98%)						
1. Soybean oil (SBO) and waste cooking oil (WCO)	Conventional (heterogeneous catalyst)	60	4	methanol: oleic acid 25:1	Reduce acid value from 5.1 mg KOH/g oil in the beginner to 0.5 mg KOH/g	[28]
2. Refluxing methanol						
3. Amberlyst-15						

Material	Method	Condition			Result	Ref
		Temp (°C)	Rx Time (hr)	Molar ratio		
1.Tung oil	Conventional (heterogeneous catalyst)	65	4	alcohol/ oil 8:1	Reduce acid value from 7 g KOH/kg oil in the beginner to 0.70 mg KOH/g	[29]
2.Methanol						
3.Ion-exchange resins	Conventional (heterogeneous catalyst)	55	4	alcohol/ oil 6.128:1	Reduce amount of FFAs 10.684%. in the beginner to 0.8 %	[3]
1. 10% of oleic acid and 90% of refined sunflower oil in order to obtain acid oil.						
2. Ethanol anhydrous						
3. Dowex monosphere 550 A resin						
1. Zanthoxylum bungeanum seed oil (ZSO) with high FFA	Conventional (heterogeneous catalyst)	95	2	methanol-to- FFA 40.91:1	Reduce acid value from 41.02 mg KOH/g oil in the beginner to 1.59 mg KOH/g	[30]
2. Methanol						
3. Ferric sulfate						
1. Zanthoxylum bungeanum seed oil (ZSO) with high FFA	Conventional (homogeneous catalyst)	60	1.34	methanol-to- oil 24:1	Reduce acid value from 45.51 mg KOH/g oil in the beginner to 1.16 mg KOH/g	[31]
2. Methanol						
3. $H_2SO_4$						

Material	Method	Condition			Result	Ref
		Temp (°C)	Rx Time (hr)	Molar ratio		
1. Acid oil containing about 60 wt.% free fatty acids	Conventional (heterogeneous catalyst)	200	2	alcohol/oil 15:1	Reduce acid value from 119.58 mg KOH/g oil in the until the content of FAMEs reached 96.24%.	[32]
2. Methanol						
3. $\text{SO}_4^{2-}\text{ZrO}_2\text{-TiO}_2\text{-La}^{3+}$						
1. Tricaprylin and caprylic acid	Conventional (heterogeneous catalyst)	120	8	alcohol/oil 6.9:1	The conversion of caprylic acid decreased to 22%	[4]
2. Ethanol						
3. WZ, SZ, and TiZ as catalysts						
1.Palmitic acid +sunflower oil	Conventional (heterogeneous catalyst)	400-600	7	0.792	Get PA conversion 80%	[33]
2. Methanol						
3. A silica-supported SAC-13, SZ, WZ, silica-alumina						
1. Oleic acid (pure and added to soybean oil)	Conventional (heterogeneous catalyst)	75	12	ethanol: oleic acid 120:1	Get ester conversion 70%	[2]
2. Ethanol						
3. $\text{SnCl}_2\cdot 2\text{H}_2\text{O}$						

Material	Method	Condition			Result	Ref
		Temp (°C)	Rx Time (hr)	Molar ratio		
1. Refined sunflower oil (initial amount of FFA of 9.9% w/w.)	Conventional (heterogeneous catalyst)	30 -55	4	4.2:1 , 5.01:1 , 6.1:1	A final conversion over 90%.	[34]
2. Ethanol						
3. Solid resin, Dowex monosphere 550 A						
1. Ricinoleic acid	Conventional (heterogeneous catalyst)	60	7	methanol/ ricinoleic acid 29:1	The activity is found to be 82.5%	[6]
2. Methanol						
3. Carbon supported C/PANI-S						
1. Oleic acid	Conventional (heterogeneous catalyst)	65	24	methanol/ oleic acid 67:1	Conversion values close to 100%.	[35]
2. Methanol						
3. $(WO_3/ZrO_2$ nanoparticles on the surface of MCM-41 support						